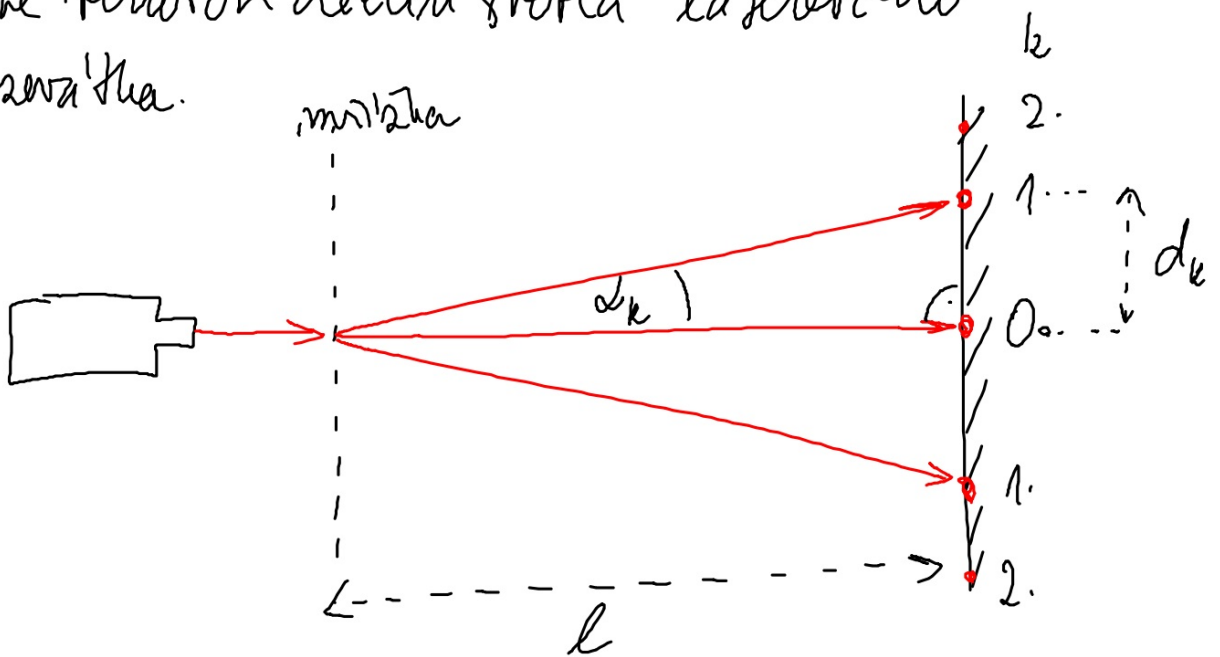


VLNOVA' OPTIKA

LP: VLNOVA' DELLA SVEGLIA

Modi risonanti della fibra laser e della
microstruttura.



rozmiar: $N = 10 \text{ mm}^{-1}$ (rozpuszczony)

rozmiar: \underline{L} a jednoczynnik $\underline{d_k}$

$$\tan \alpha_k = \frac{d_k}{L} \Rightarrow \alpha_k = \dots$$

podziałka na maksimum: $k \sin \alpha_k = k \lambda$

$$\frac{1}{N} \sin \alpha_k = k \lambda$$
$$\lambda = \frac{\sin \alpha_k}{k N}$$

$$l = 350 \text{ cm}$$

k	$\frac{d_k}{\text{cm}}$	$\frac{\alpha_k}{^\circ}$	$\frac{\lambda}{\text{mm}}$	$\frac{\Delta \lambda}{\text{mm}}$
1.	2,3			
2.	4,4			
3.	6,8			
4.	9,0			
\vdots				

Č. m.	k	$\frac{d}{\text{cm}}$	$\frac{\alpha}{^\circ}$	$\frac{\lambda}{\text{nm}}$	$\frac{\Delta\lambda}{\text{nm}}$
1	1	2.3	0.38	657.1	9.1
2	2	4.4	0.72	628.5	19.5
3	3	6.8	1.11	647.5	0.5
4	4	9.	1.47	642.6	5.4
5	10	23.3	3.81	664.2	16.2

Vlnová délka světla LASERu je $(648. \pm 10.1)$ nm.

Polarizace světla

k pochopení je třeba znát:

- světlo je PRŮCHŮZEMĚ ELMG. VLÁZEM

popisné veličiny:

- \vec{E} (el. intenzita) — „nese informaci“

- polarizaci, intenzitu světla a fází

- \vec{B} (mg. indukce)

- $\vec{E} \perp \vec{B} \perp$ směr šíření vlny

- světlo 2 běžných zdrojů (Slunce, žárovky, ...) je NEPOLARIZOVANÉ
- lidské oko nevidí rozdíl mezi polarizovaným a nepolarizovaným světlem (tedy musí mít nějakou "pomůcku")

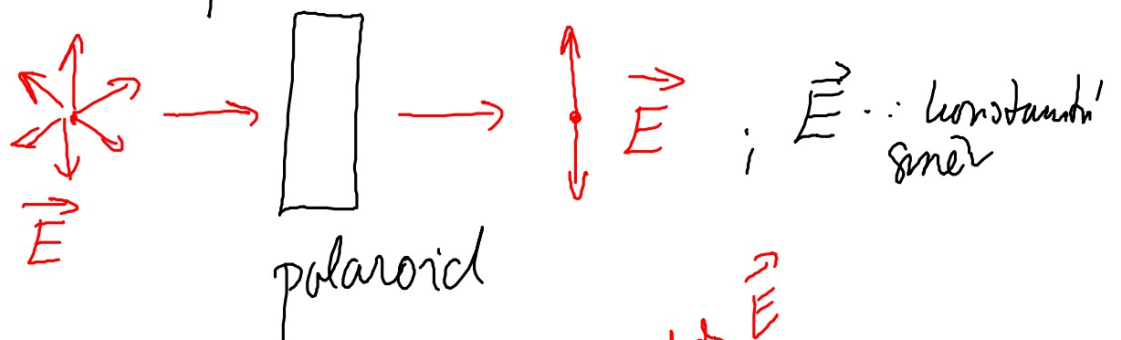
popis pomocí vektorú:

$$\vec{E} = \frac{1}{\epsilon_0 \epsilon_r} \vec{D} ; E \sim \text{proskřídá!}$$

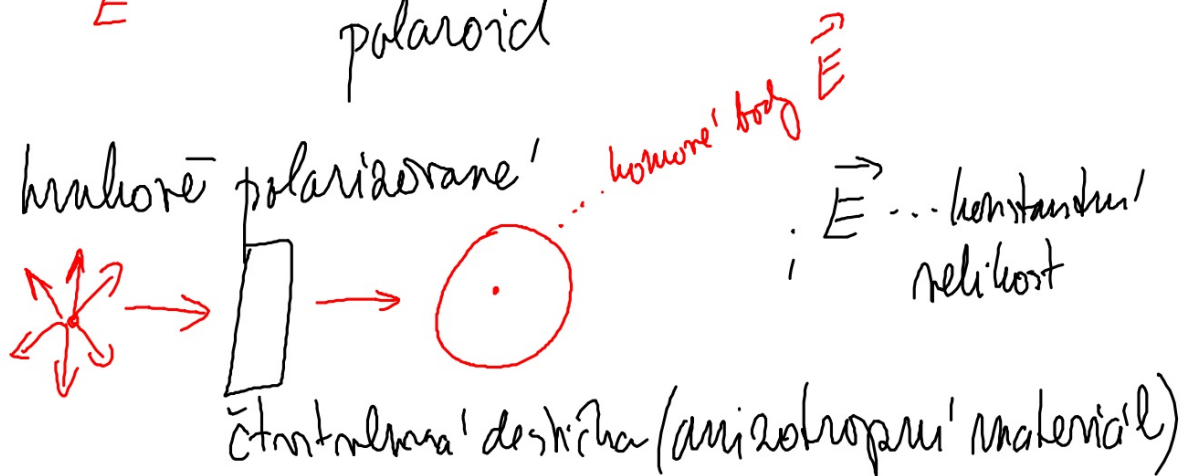
$$\vec{B} = \frac{1}{\mu_0 \mu_r} \vec{H} ; B \sim \text{proskřídá!}$$

Druhy polarizace

• lineární polarizace

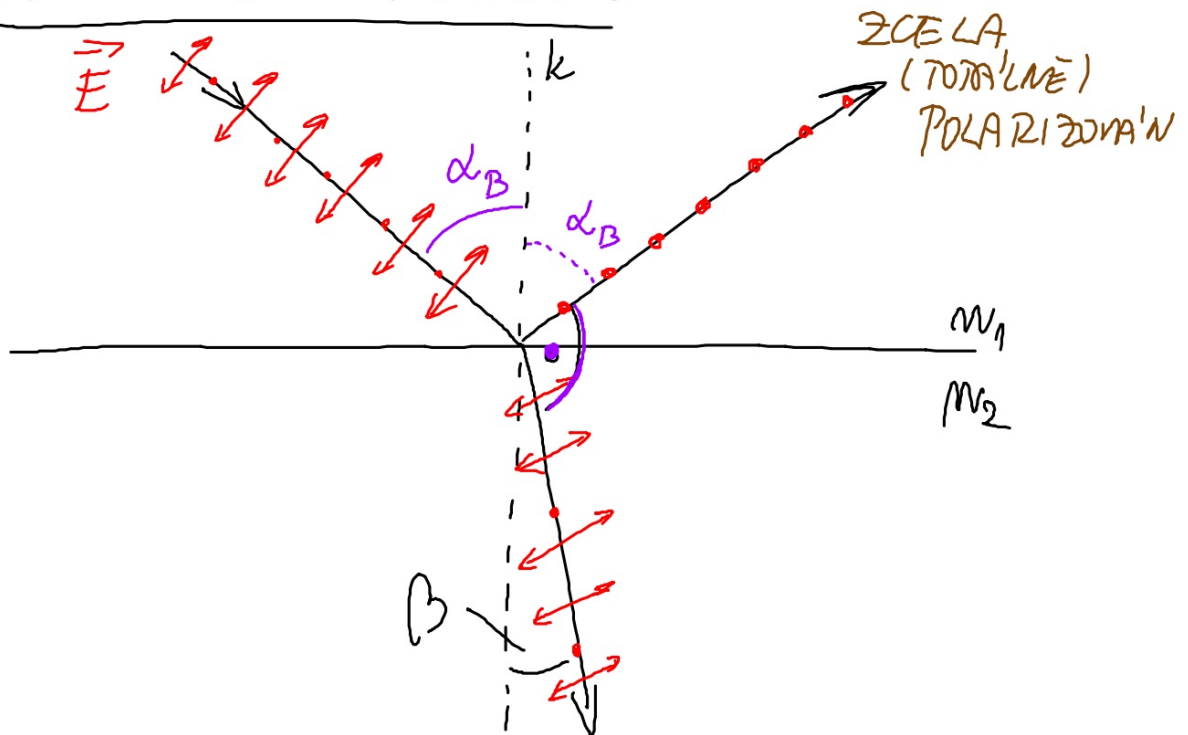


• kruhové polarizace



Typy polarizace světla

1) odrazem a lomem



dopada-li ^{NEPOLARIZOVANÉ} světlo na rozhraní 2 opt.
prostředí pod tzv. BREKSTEROVÍM ÚHLEM
 α_B , vzniká částečně odražená vlna s vlnou
prošlou PRAVÍ LÍHEL a odražená vlna je

ZCELA POLARIZOVANÁ

prošlá vlna je polarizovaná ČÁSTEČNĚ v kolmému
směru na polarizační odražené vlny

Snellius rätikon: $\frac{\sin \alpha_B}{\sin \beta} = \frac{n_2}{n_1} \Rightarrow$

pluh: $\alpha_B + 90^\circ + \beta = 180^\circ$
 $\beta = 90^\circ - \alpha_B$

$$\sin \beta = \sin (90^\circ - \alpha_B) = \cos \alpha_B$$

$\Rightarrow \frac{\sin \alpha_B}{\cos \alpha_B} = \frac{n_2}{n_1}$

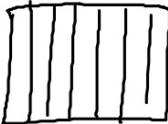
$$\boxed{\operatorname{tg} \alpha_B = \frac{n_2}{n_1}}$$

2) polaroidy (polarizacni filtry)

vzrobeny z: anizotropnich materialu... ○

materialu s „dlouhymi” lim.

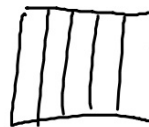
molekulami” ... ↑↓

filtr pro linearni polarizaci: 

2 mozna pripady:



POLARIZATOR



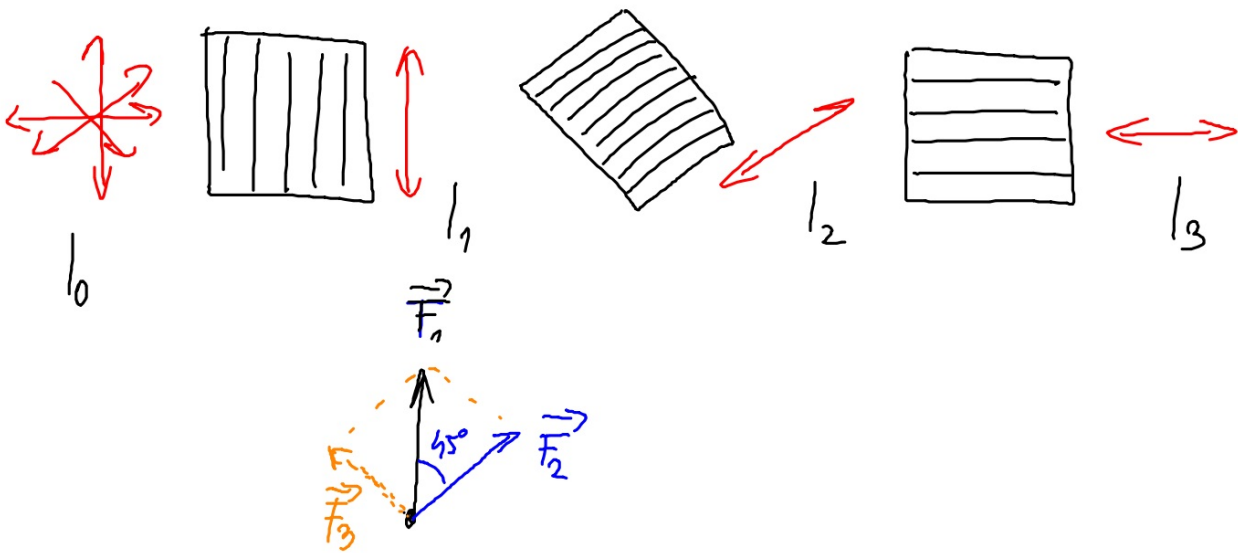
„svetlo”



„tma”

ANALYZATOR

extra :



Malus's law : $l_1 = l_0 \cos^2 \varphi$

$$l_3 = l_2 \cos^2 45^\circ = \frac{1}{4} l_1$$

$$l_1 = l_0 \cdot \frac{1}{2}$$
$$l_2 = l_1 \cos^2 45^\circ = \frac{1}{2} l_1$$

3, dvojná lomem

typické pro ANIZOTROPNÍ MATERIÁLY
(kryštaly)

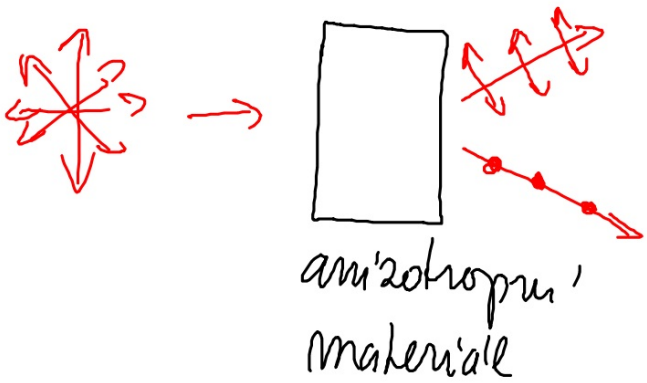
- tj. v různých směrech úroveň vlastností

VELIKOST RYCHLOSTI LN V MATERIÁLU

⇒ INDEX LOMU

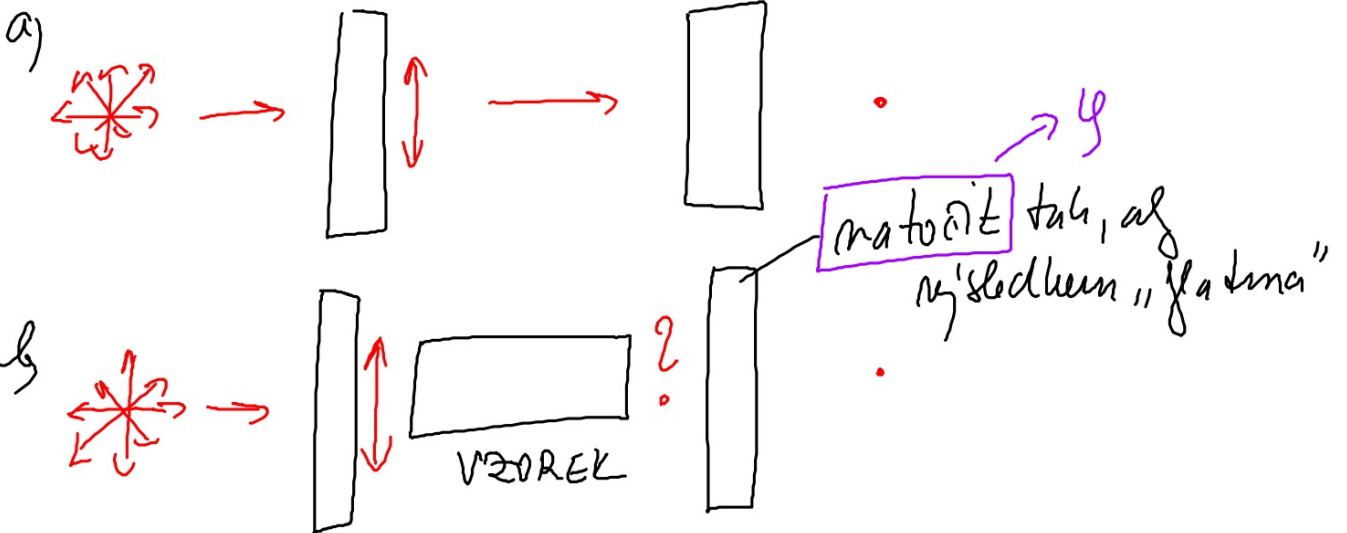
praxe: v různých směrech se olna látky řinák ⇒

⇒ uvnitřní 2 roky: RA'DNA'
MIHO'RA'DNA'



Polarizace světla v praxi

1) Zkoumání opt. aktivních látek

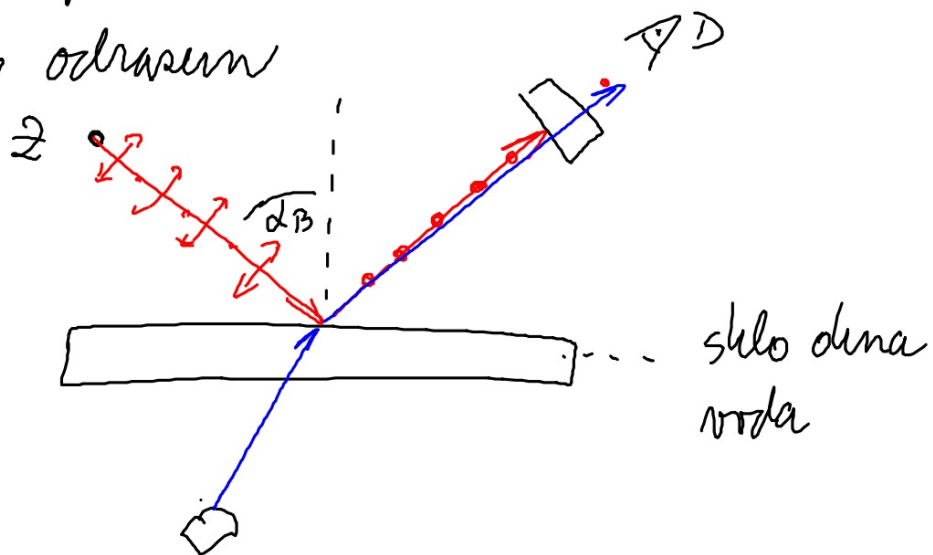


γ = nominální polarizační
úhel

2) Zabraňení odlesku

fotografie, film

polarizace odrazem



3, Završnica na filmu

Pa'ber, pa' se "sedmi" a "rozetni"

se u pismu proskida'

Současnost: povitac u postprodukciji

4) 3D kino

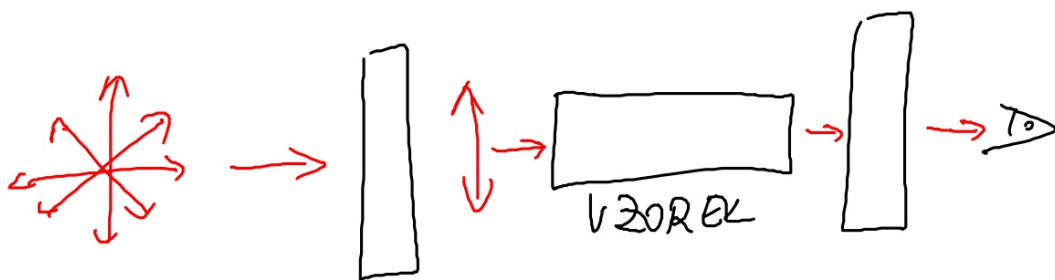
- klasické - pomocí polarizačních filtrů a brýlí
 - natocení filmu na 2 KAMERY
 - postprodukce, ...
 - promítání: promítání s filtry otočenými 90°
 - divák má brýle s křížovým filtrem

- moderní - komunikace proměnitel
stroj - brýle

3) Fotoelasticitmetrie

(\sim měření deformace světlem)

NEDESTRUKTIVNÍ METODA



vyhodlení: \sim dvojlema
deformace \Rightarrow změna struktury \Rightarrow
 \Rightarrow změna rozložení fází \times rozepětí
(barva \sim důsledek interference světla)

6, LCD

ЗОБРАЗОУАМИ ОРТ.

СОУСТАУАМИ (ГЕОН. ОРТКА)

За'кладни' пр'инципи

принципи:

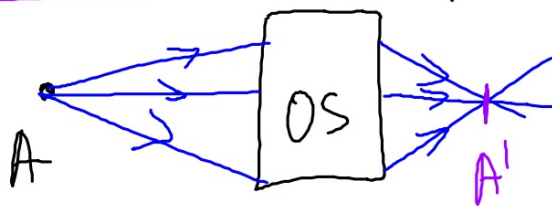
- принцип неа'втостости чворду по'ртски
- закон одразн
- закон лонн

Optická soustava - postupnost opt.
prostředí, která mění směr chodu
paprsků

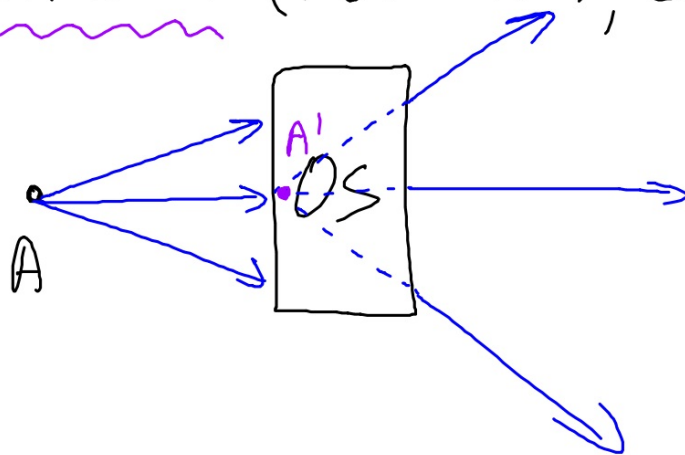
metoda: VZOR $\xrightarrow{\text{opt.}} \text{OBRAZ}$
(předmět) obrazem

2 základní typy obrazů:

- SKUTEČNÝ (REÁLNÝ, promítaný)



- NESKUTEČNÝ (NEREALNÝ, ZDAŤLIVÝ)

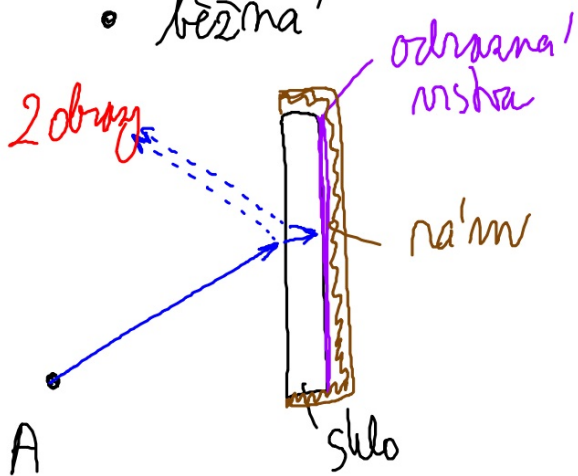


Zrcadla

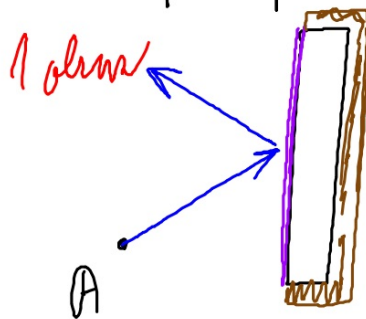
dělení:

1) dle konstrukce

- běžná



- profesionální (fotoaparát, kamera, ...)



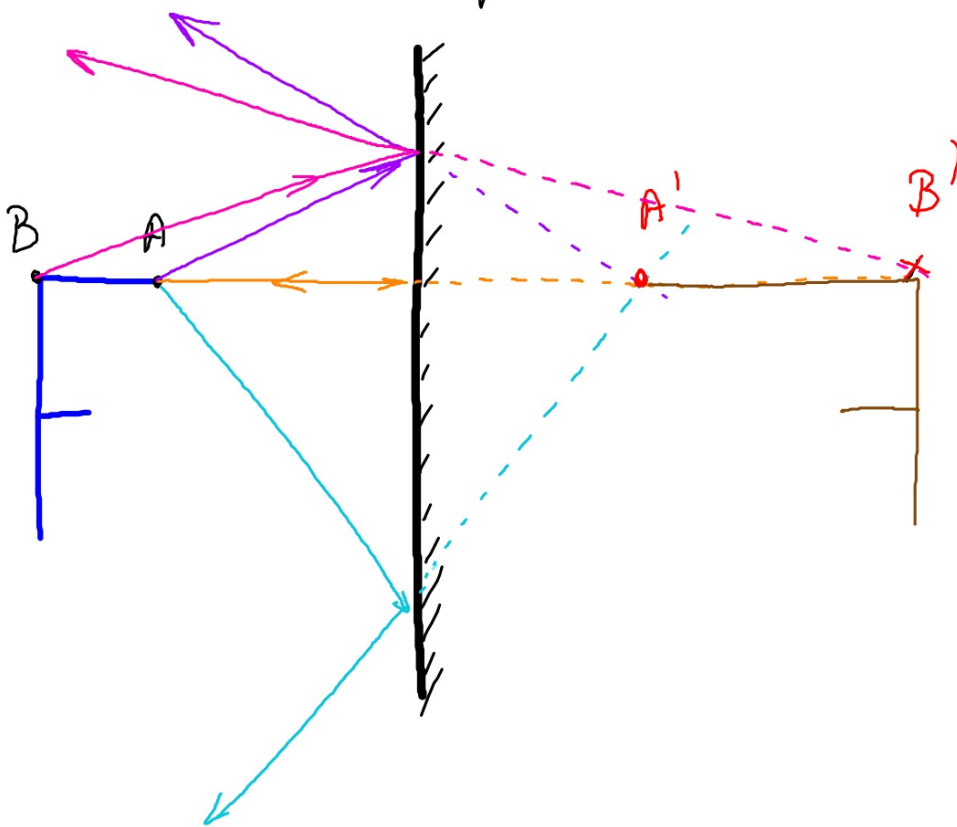
2) dle tvaru

◦ rovinná'

◦ kulová' $\left\{ \begin{array}{l} \text{druhá}' \\ \text{vypuklá}' \end{array} \right.$ --- jednodušší' ma
výpočet; mají' rody

◦ parabolická' $\left\{ \begin{array}{l} \text{druhá}' \\ \text{vypuklá}' \end{array} \right.$ --- složitější' ma výpočet;
bez rodu

Zobrazení rovinným zrcadlem



plastuosti obradu;

- odamli'ny'
- stejne' vysoty' jako nor
- stejne' daleko od zrcadla jako nor
- nepri'meny'
- stranove' preva'eny'

[ROVINNA' SOUTERNOST

Konvence znamének

- 1) Paprsky OS jde od ZLEVA DOPRAVA.
- 2) Ohnisková vzdálenost: od OHNISKÁ K optickému
prostoru:
 - pro směr úvodu paprsků ... $f > 0$
 - pro ... $f < 0$
- 3, y ... výška předmětu; $y > 0$... NAD OPT. OSOU
 y' ... výška obrazu;
 - $y' > 0 \Leftrightarrow$ NAD OSOU (PŘÍMÝ, VZPŘÍMÝ)
 - $y' < 0 \Leftrightarrow$ POD OSOU (PŘEVRAČENÝ)

4) a ... vzdálenost předmětu od opt. prvku
 $a > 0 \Leftrightarrow$ předmět PŘED opt. prvkem (VZDÁ)

a' ... vzdálenost obrazu od opt. prvku

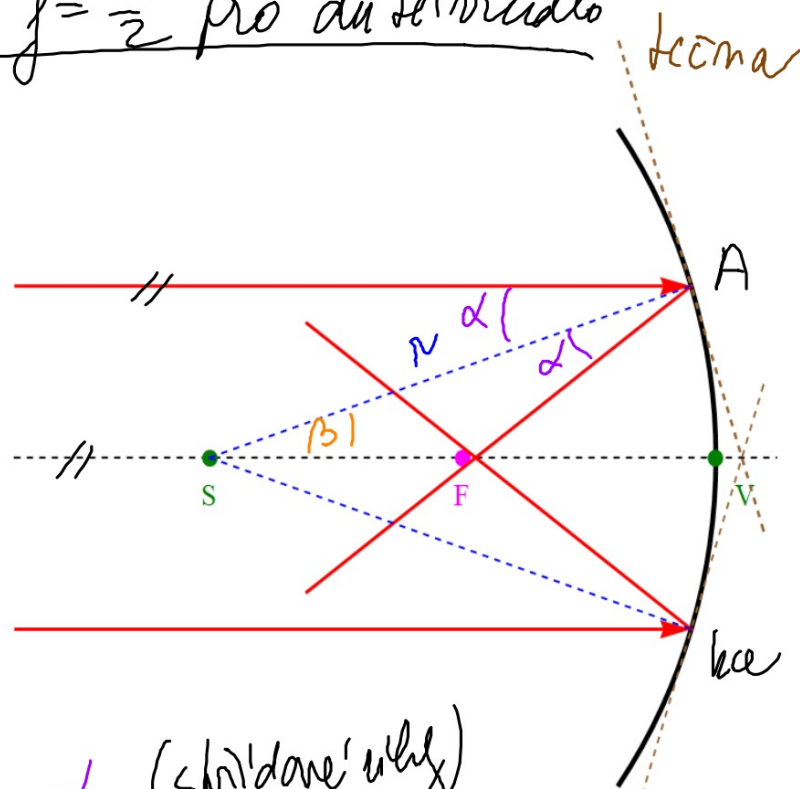
• $a' > 0 \Leftrightarrow$ obraz vzniká, kde bych očekával

\rightarrow SKUTEČNÝ OBRAZ

• $a' < 0 \Leftrightarrow$ n opačným směrem

\rightarrow ZDAŘILÝ OBRAZ

Доказ: $f = \frac{R}{2}$ про ду телорудло



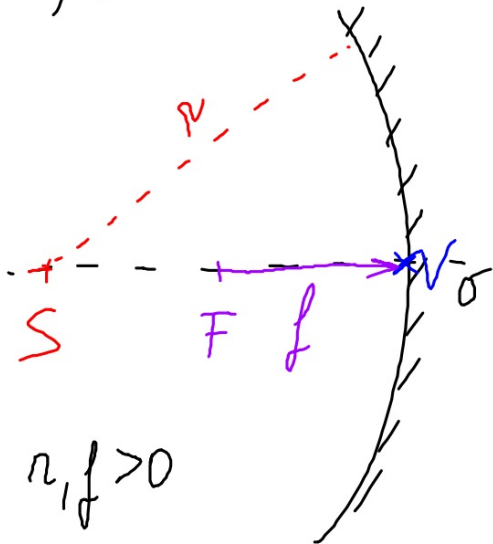
$\beta = \alpha$ (шкірдане' убілы)

ΔSFA је РОВНОРЪМНЕНЪ $\Rightarrow |SF| = |FA|$ \Uparrow
 Минимал' пр'пад про $\alpha \rightarrow 0 \Rightarrow |SF| = |FA|$ и $|SF| + |FA| = R$

$$f = \frac{R}{2}$$

Kulova' orcadla

a) duta'

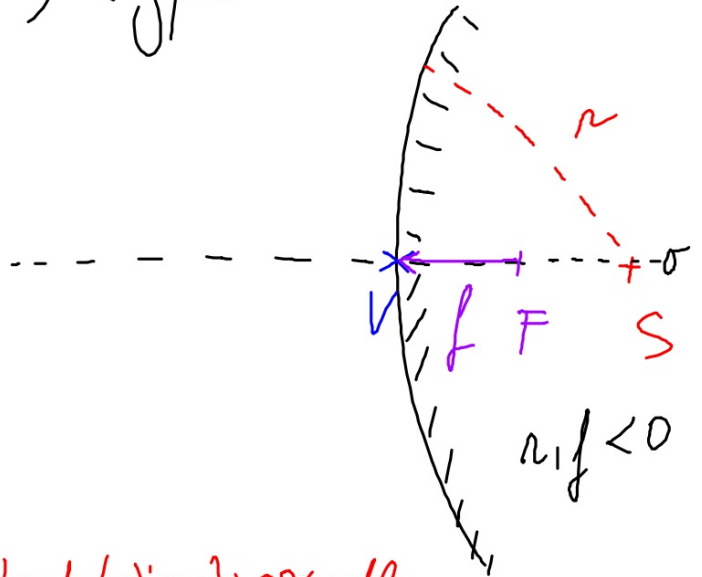


$$n, f > 0$$

σ - opt. osa

V - vrchol orcadla

b) vyvukle'



$$n, f < 0$$

S - skred krivosti orcadla

F - ohnisko; $f = \frac{R}{2}$

Wzrost $f = \frac{R}{2}$ płaski powrót w ten.

PARAXIALNYM PROSTORU :

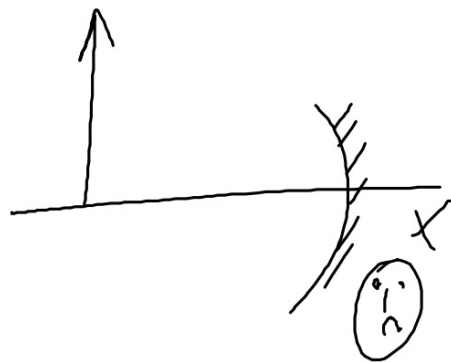
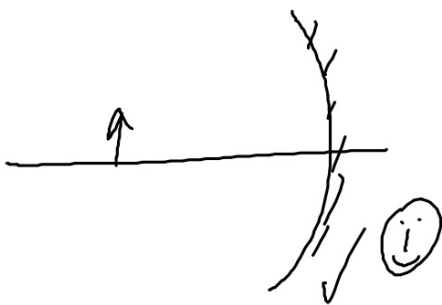
prostor, kde při optickém zobrazení
nemají velký; blízko opt. osy

○ admissi na malé přenosy

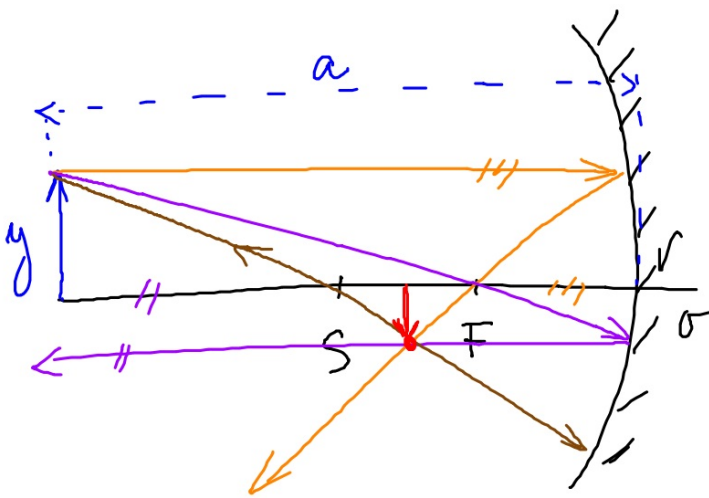
Zobrazení kulovým zrcadlem

vzniká 3 různá reálná paprsky, které:

- se chová podle zákona odrazu
- se odrážejí od zrcadla do směrů
symetrie



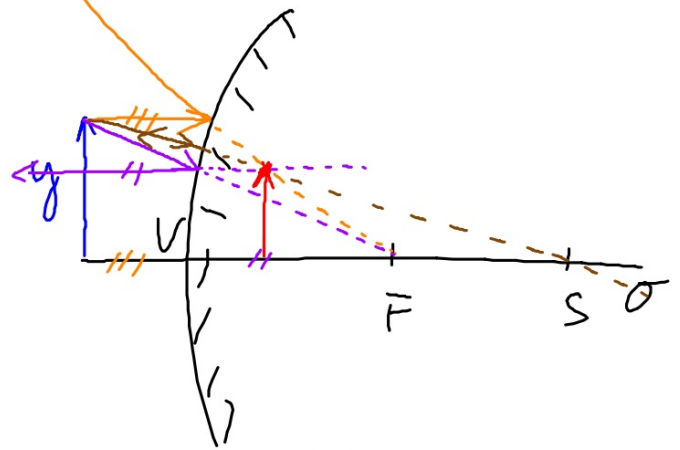
a) duté!



OBRAZ:

- PŘEVRAŤENÝ
 - SKUTEČNÝ
 - ZMENŠENÝ
- } ZDE 0,00
} 2a'n's' na a

b) vypuklé!



OBRAZ:

- PŘÍMÝ
 - ZDAŇLIVÝ
 - ZMENŠENÝ
- } U
} Z
} D
} y

3 „VIP“ papísky:

1, $\rho \parallel \sigma$; $F \in \rho'$

2, $F \in \rho$; $\rho' \parallel \sigma$

3, $S \in \rho$; po odrazu s σ a ρ' po tezi přímce

Ponzi:

- ma'klarmu' arca'thuo ORL - dute'
- arubni' - dute' (ale i norinne')
- wri'zraty - nypukla' (≡ PRI'KUS' OBRAZ)
- dalekohlec - dute' (≡ SKUTEČNĀ' OBRAZ)
- toaledni' - dute'
- apedne' arca'tho cest - nypukle'
- polladny supermarket - nypukle'

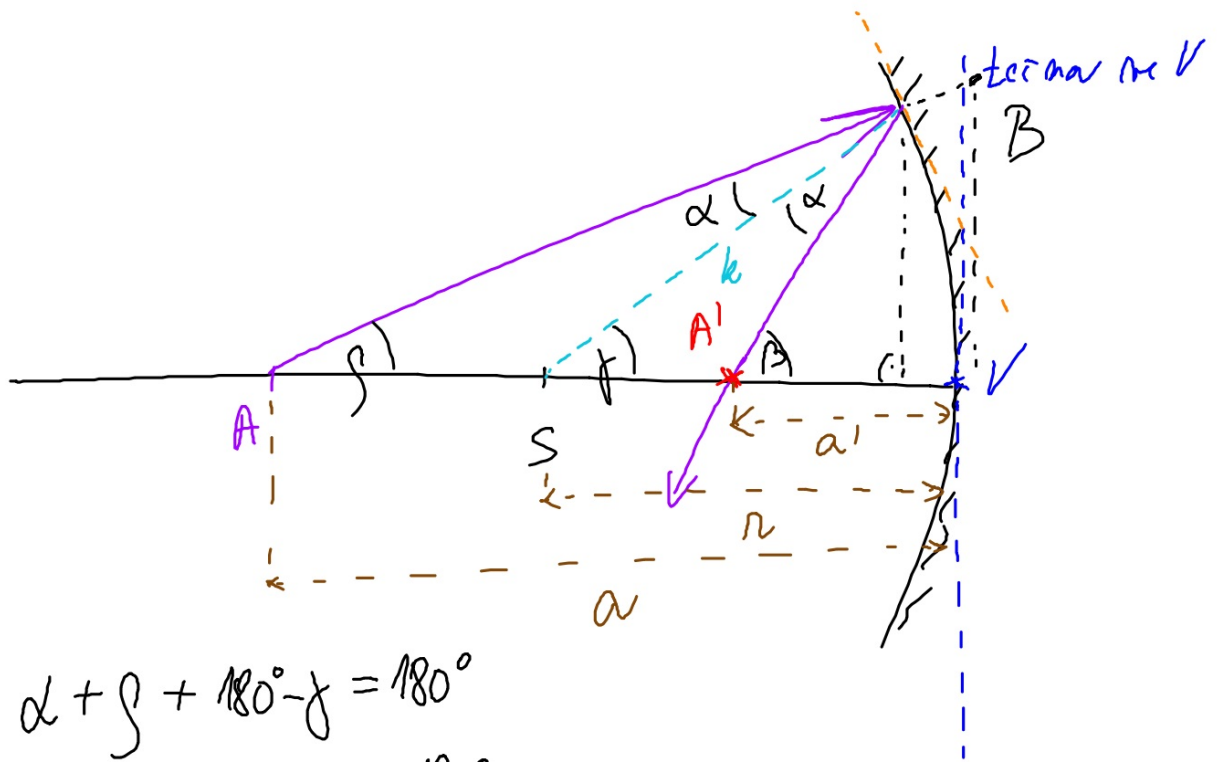
- reflektory aut - dute!

Zobrazovací

odvorem! pro speciální polohu předmětu,
přičemž se budou dobře počítat ulky

pro paraxiální prostor platí:

pro malé ulky: $x \approx \lg x$; $[x] = \text{rad}$



$$\alpha + \gamma + 180^\circ - \gamma' = 180^\circ$$

$$\alpha + \gamma' + 180^\circ - \beta = 180^\circ$$

$$\left. \begin{array}{l} \alpha + \gamma - \gamma' = 0 \quad / \cdot (-1) \\ \alpha + \gamma' - \beta = 0 \end{array} \right\} \oplus$$

$$2\gamma - \beta = 0 \quad (1)$$

$$\operatorname{tg} \delta = \frac{|VB|}{a} \doteq \delta$$

$$\operatorname{tg} \beta = \frac{|VB|}{r} \doteq \beta$$

$$\operatorname{tg} \alpha = \frac{|VB|}{a'} \doteq \alpha$$

dosadiť do (1): $2 \frac{|VB|}{r} - \frac{|VB|}{a} - \frac{|VB|}{a'} = 0 \quad /: |VB|$

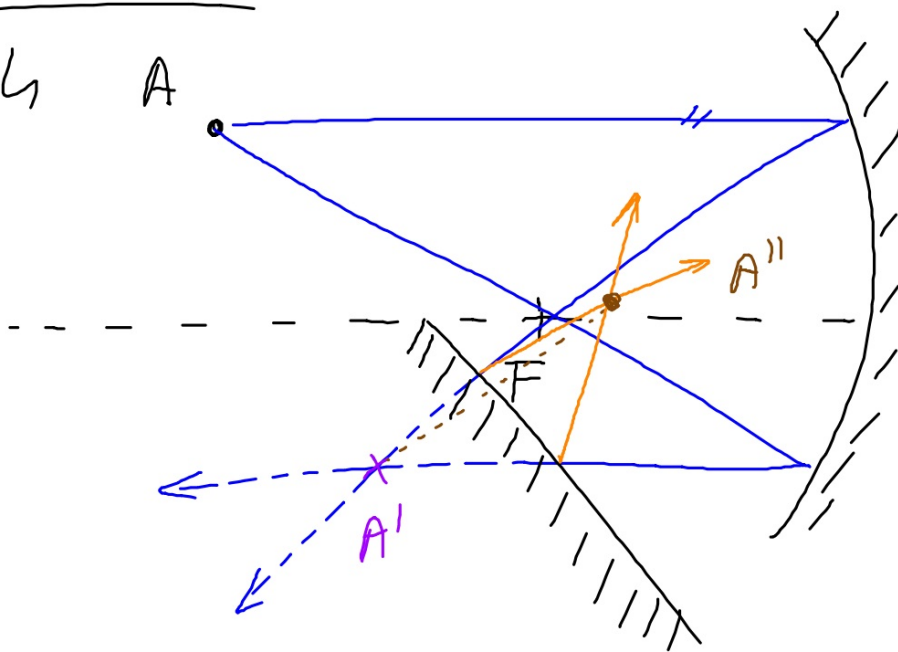
$$\frac{1}{a} + \frac{1}{a'} = \frac{2}{r}$$

$$\frac{1}{a} + \frac{1}{a'} = \frac{1}{f}$$

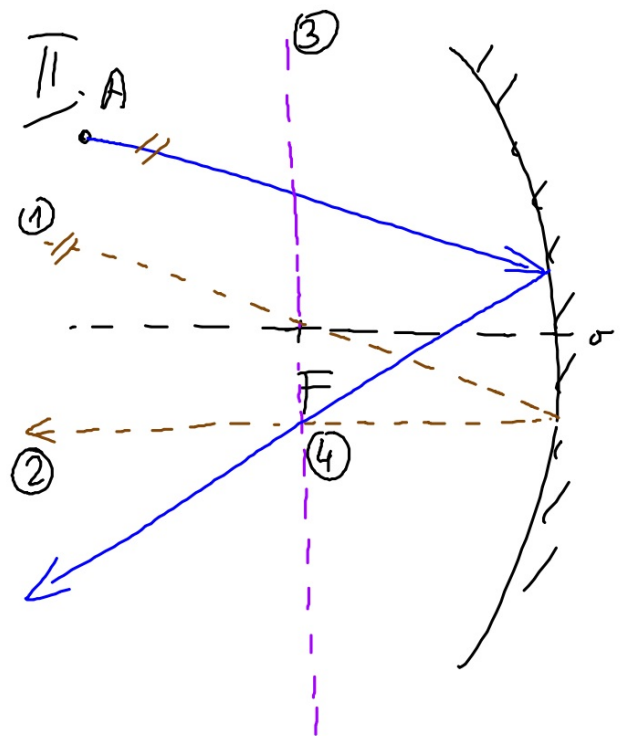
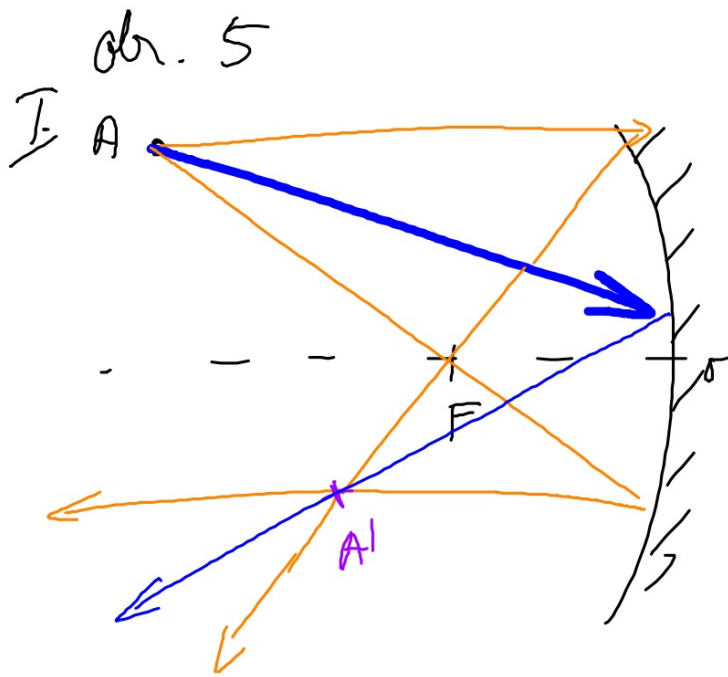
ZOBRAZOVACÍ
RCE

PRACOVNÍ LIST

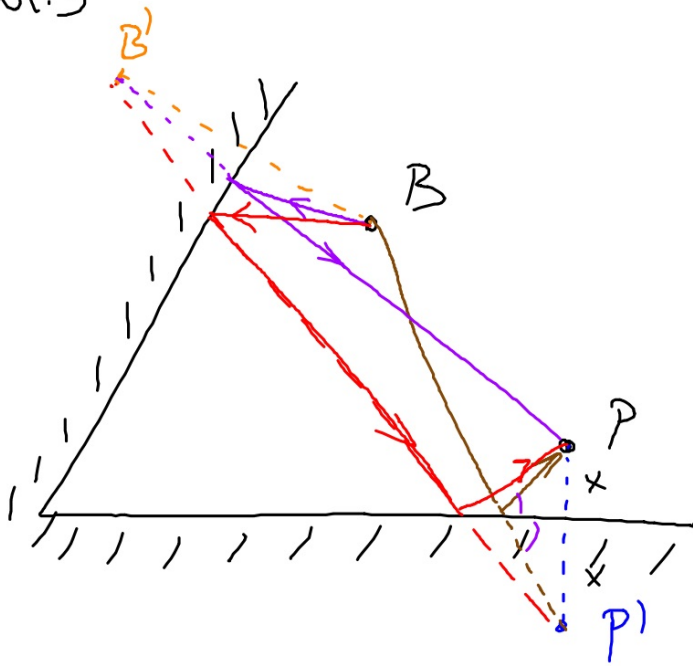
obr. 4 A



A''
SKUTEČNÝ!



obr. 3



Príemne zväčšenie

$$\underline{z = \frac{y'}{y} = -\frac{a'}{a} \quad [z] = 1}$$

$|z| > 1 \Rightarrow$ zväčšujúci obraz

$|z| = 1 \Rightarrow$ obraz stejné veľkosti (akosť)

$|z| \in (0, 1) \Rightarrow$ zmenšujúci obraz

$z > 0 \Rightarrow$ priamy obraz

$z < 0 \Rightarrow$ prevrácajúci obraz

Čočky

o Spojky

- ke vytvořit SKUTEČNÝ
OBRAZ
- ke vytvořit ZVĚTŠENÝ
OBRAZ
- nejširší je UPROSTŘED
- $f > 0$

o rozptyly

- vytvořit pomale
ZMĚŇENÝ OBRAZ
- vytvořit pomale
ZMĚŇENÝ OBRAZ
- nejširší má OKRAŠI
- $f < 0$

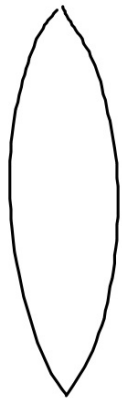
ruzne' dravy (dvojny'puhla', ploskoduta',...)

 - pri' stepne' f' mozi' Ruzne' vady

 ($\sim n$)

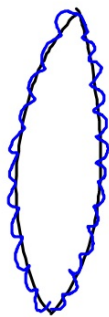
Fresnelova corba

Misto



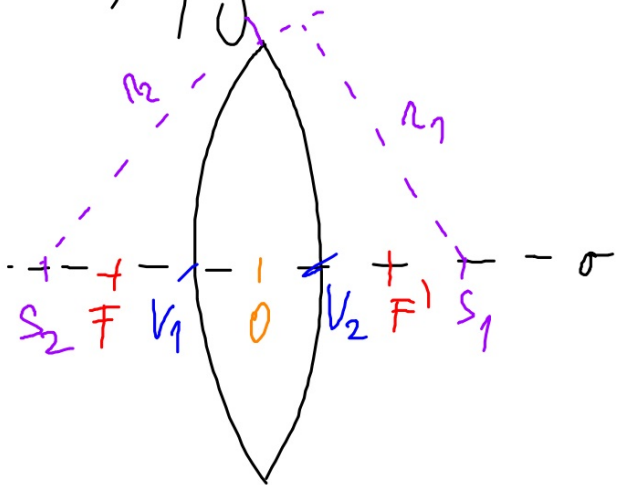
si vidomel, ze duleziti' je pen

 "dvoj" \Rightarrow "vydlaba'ni' mitku"



Parametry čoček

a) Spojka

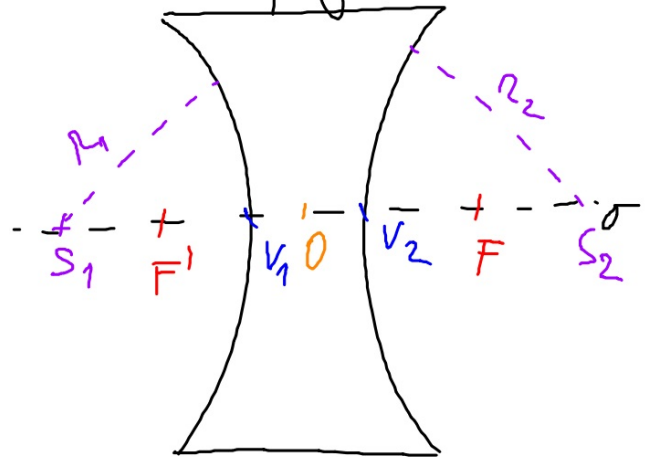


σ - opt. osa

$V_{1,2}$ - vrcholy opt. plochy

F - predmetná ohnisková
 F' - obrazová ohnisková

b) rozptyľka



$S_{1,2}$ - stred hraničnej opt. plochy

O - stred čočky

lenka čočka: $V_1 \doteq O \doteq V_2$

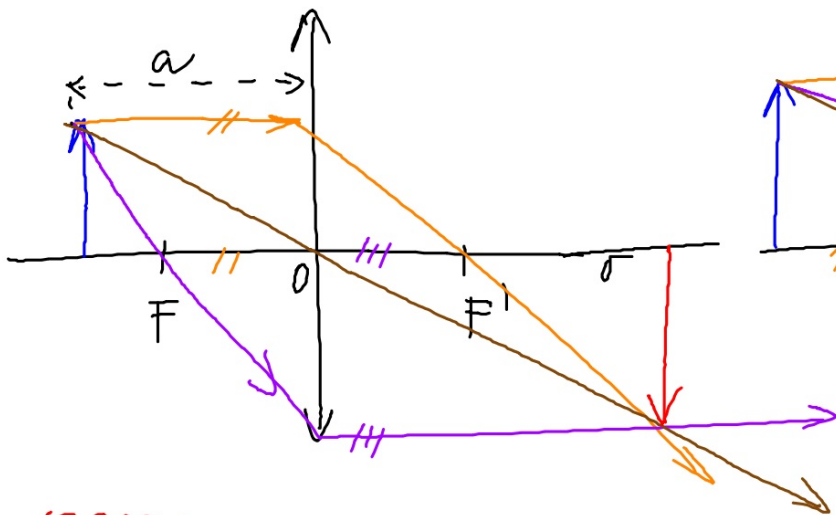
Zobrazení carbon

využití se významně zvyšuje:

- splnění zákonů

- více, do jakých směrů se po příchodu carbon láhmon

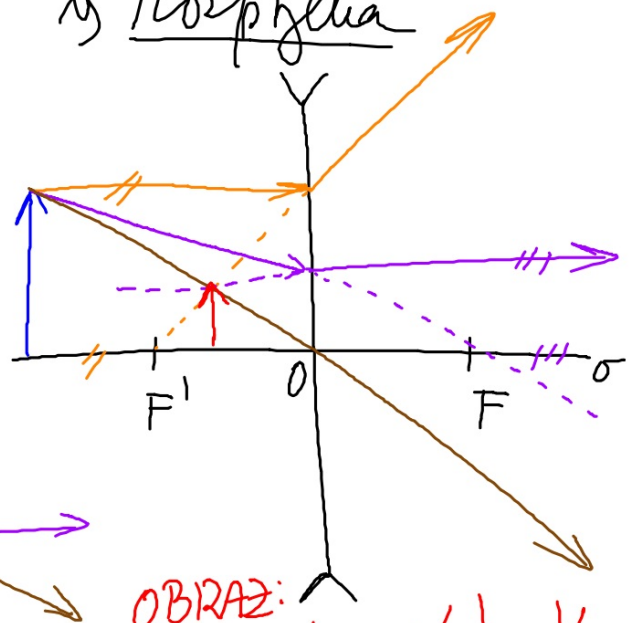
a) Spojka



OBRAZ:

- SKUTEČNÝ
 - PŘEVRAŤENÝ
 - ZVĚTŠENÝ
- } ZDE!
} od mířící na
} a

b) Rozptylka

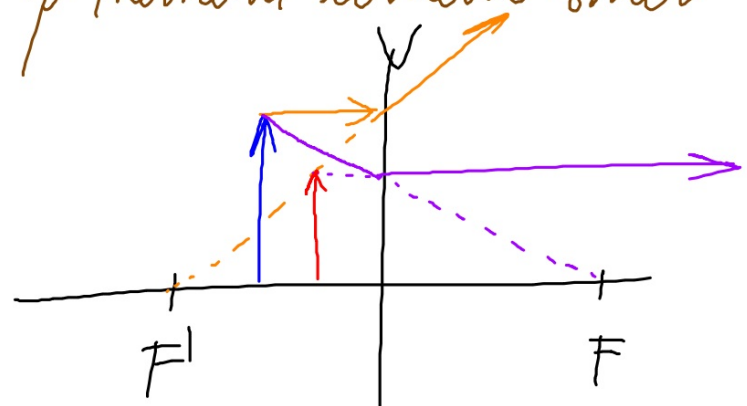


OBRAZ:

- ZDÁNĚLIVÝ
 - PŘÍMÝ
 - ZMENŠENÝ
- } $\frac{v}{z}$
} $\frac{D}{D}$
} $\frac{y}{y}$

3 yamāmei papishy

- 1) $\phi \parallel \sigma$; $F' \in \rho'$
- 2) $F \in \rho$; $\rho' \parallel \sigma$
- 3) $O \in \rho$; ρ' nermōni' lornem smēr



abrazhachi' re, aretschi' - palon arcadel

Vady čoček

• princíp nie je než n súadl, pretože:

• súadla - zobrazujú' odrazom

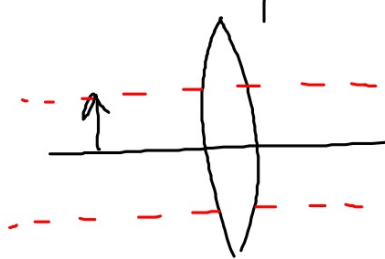
• čočky - zobrazujú' lomom ⇒

⇒ n ne monochromatického svetla nastáva' i' DISPERZIE

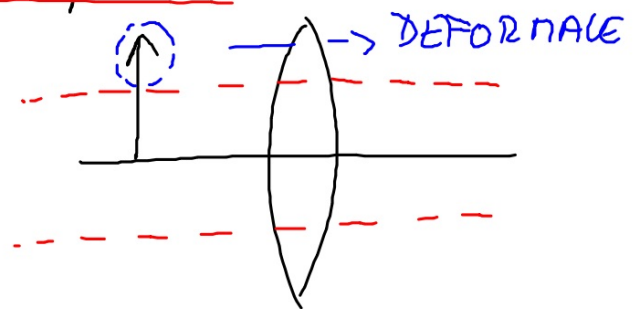
Qad'bludlu'.

o OTVOROZNA' - vnuika' pri' zobrazenii'

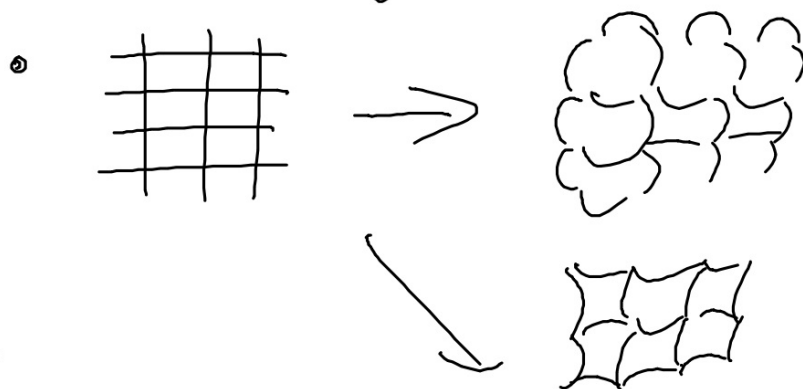
minimo paraxialnu' prostor



na'prava: CLONA



- ZKLEPITI OBRAZU - da'na ni'zman
kamaroshi' cōly n' ni'zuy'ch' ni'stech



• BARVENÁ VĚDA — dálna disperze

bílého světla \Rightarrow různé složky se

lámou různě a každá z nich

jde sít „světelné“

páry: dříve zabarvení kolem obrazu
malých předmětů

koučka VŠECH VĚD: MULTIPLY — měření
všechno se dělá

Optická mocnosť čožy

$$y = \frac{1}{f} ; [y] = \text{m}^{-1} = \text{D} \text{ (dioptrie)}$$

2 ŽŤAVKÉ ŐŦŦK BLI'ZKO U SEBE
(oko + brýle, čož ďalekohľady, ...) s optickými
mocnosťami y_1 a y_2 plati:

$$\underline{y = y_1 + y_2}$$

Oko

- orgán zraku
- člověk vidí obem + muskem
- pravý orgán \Rightarrow prostorová orientace

vládnosti:

- největší amplituda směru chodu
paprsků: vzduch - rohovka
- na dalších rozhraních jsou amplitudy
menší (\Leftarrow indexy lomu jsou podobné)
- $f = 1,6 \text{ cm} \Rightarrow \varphi = \frac{1}{1,6 \cdot 10^{-2}} \text{ D} = 60 \text{ D}$
 \Rightarrow čočky byly: drobná čočka ($\varphi_B \sim 1 \text{ D}$)

ostaj
- (obraz n. idea'lnohm pit' padet' raznitsa'
na s'obnitsa':

1, 2 „VIP” body:

• ELUTA' SKURNA — meiny 30' koncentraci
konneta; n. mizhe, kade s'obnitsa'
mukh'ia' opd. osa' d'v'z

• SLEPA' SKURNA — bez iskl'uch'kh konneta;
syz'stem' otm'lo nennu

2) svetločutilne' brniz

• МЭМОН - detektor' gas
- černo-bile' vidění'

• ČI'PKY - detektor' brniz
- 3 drnky: R, G, B

(procentuální zastoupení 3 drnků ovlivní ~ opt.
systém fotoaparátu, kamer)

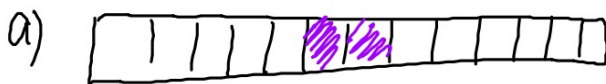
LP: Vzdálenost bmmch na sídnicí olov

Určte nezápornou vzdálenost bmmch na sídnicí olova.

"teorie"

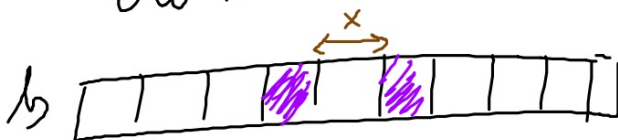


bmmch sídnicí

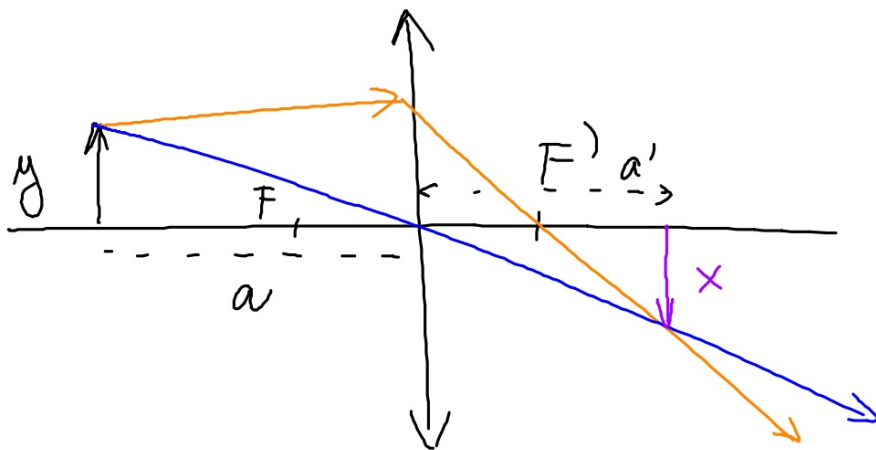


okolo nidi 1 BODY

/// štetlein
pasačeno' bmmch



okolo nidi 2 BODY



$f = 1,6 \text{ cm}$
 a, y - размеры

$$a \gg f \Rightarrow a' \approx f$$

($a \sim 1 \text{ m}$)

подолност проекции
 (или aberrация)

$$\frac{x}{y} = \frac{f}{a}$$

$$x = \frac{yf}{a} (\sim 10 \mu\text{m})$$

Optické vlastnosti

oko ková "paply" po správné
odrozeu':

- POLOHA OKA + HLAVY — obraz
namíhá se žlutě skvěle
- ADAPTACE — stávkování x nastávkování
dávky (\Rightarrow změna průměru zornice)

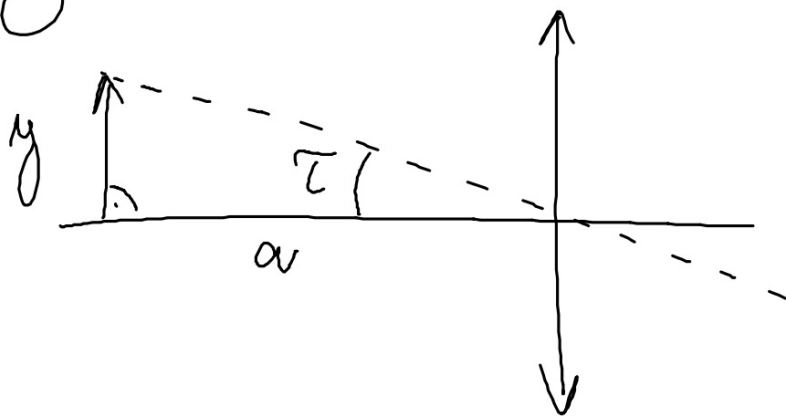
• AKOMODACE - změna y čočky

2 body, na které oko ostrí:

• VĚDALEŠÍ BOD - největší vzdálenost, na které oko dokáže ostrit; OK oko: ∞
věk $\uparrow \Rightarrow$ vzdálenost \downarrow ROZPTÝLKA

• BLÍŽKÝ BOD - nejmenší vzdálenost, na které oko dokáže ostrit, ANIŽ SE VÍRAZNE NAMAHA
OK oko: 25 cm
věk $\uparrow \Rightarrow$ vzdálenost \uparrow SPOJKA

szög'ükel:



$$\operatorname{tg} \tau = \frac{y}{a}$$